

## ВРЕМЯ-РАЗРЕШЕННАЯ ФОТОЛЮМИНЕСЦЕНЦИЯ ПОРИСТОГО КРЕМНИЯ

А. В. Андрианов, Д. И. Ковалев, В. Б. Шуман, И. Д. Ярошецкий

Физико-технический институт им. А. Ф. Иоффе Российской академии наук,

194021, Санкт-Петербург, Россия

(Получена 8.07.1992. Принята к печати 14.07.1992)

Исследована фотолюминесценция (ФЛ) пористого кремния в условиях как непрерывного ( $\text{Ar}^+$ -лазер), так и импульсного фотовозбуждения ( $\text{N}_2$ -лазер) в интервале температур  $4.2 \div 300$  К. Стационарный спектр ФЛ содержит широкую бесструктурную полосу. Время-разрешенные спектры (временное разрешение 20 нс) кардинально отличаются от стационарных. Обнаружено наличие двух полос излучения пористого кремния. Коротковолновая полоса ( $A_1$ ) с максимумом при 2.5 эВ наблюдается в наносекундном диапазоне времен задержки ( $0 \div 70$  нс). Длинноволновая полоса  $A_2$  с увеличением времени задержки смещается в красную область спектра и становится доминирующей при задержках  $>100$  нс. Наблюдаемая спектрально-временная трансформация, по-видимому, обусловлена резкой зависимостью времени жизни от диаметра квантовой проволоки, совокупностью которых является пористый кремний, а также проявлением миграции возбуждения.

Обнаружение в [1] эффективной видимой фотолюминесценции (ФЛ) в пористом кремнии вызвало огромный интерес к исследованию свойств этого материала. Это обусловлено как научной значимостью, так и потенциальной возможностью практического использования пористого кремния [2].

Сильная видимая ФЛ при  $T = 300$  К пористого кремния связывается с квантово-размерными эффектами в кремниевых проволоках [1-3]. В спектре ФЛ наблюдают широкую (ширина  $\sim 0.3$  эВ) бесструктурную полосу ФЛ. Природа этой полосы, однако, остается во многом неясной.

В настоящей работе приводятся результаты экспериментального исследования фотолюминесценции пористого кремния при 300 и 4.2 К в условиях как непрерывного, так и импульсного возбуждения.

Слои пористого кремния выращивались в 20%-ном водном растворе HF при протекании анодного тока плотностью  $j = 50 \div 60$  мА/см<sup>2</sup> в течение 3-5 мин. В качестве подложек использовались полированные пластины  $p\text{-Si}$  с удельным сопротивлением 1 Ом·см и ориентацией [100].

В полученных слоях пористого кремния исследовались спектры комбинационного рассеяния света (КРС). На рис. 1 приведены типичные спектры КРС, измеренные при  $T = 300$  К в геометрии обратного рассеяния. Спектр КРС содержит узкую линию (ширина  $\sim 14$  см<sup>-1</sup>) с максимумом при 519.5 см<sup>-1</sup>. Характер спектра свидетельствует об отсутствии заметной аморфизации в полученных слоях пористого кремния. Обращает на себя внимание наличие низкочастотного крыла у основной линии КРС. Кроме того, видна значительная степень деполяризации спектра, свидетельствующая о нарушении правил отбора по поляризации, характерных для объемного кремния [сигнал в геометрии  $X(YY)\bar{X}$  от поверхности (100) в объемном кремнии запрещен].

Возбуждение ФЛ осуществлялось азотным импульсным лазером ( $\lambda = 3370$  Å,  $t_i = 10$  нс), а также непрерывным аргоновым лазером ( $\lambda = 4880$  Å). Уровень возбуждения составлял 10 Вт/см<sup>2</sup> при стационарном возбуждении и  $10^3 \div 10^5$

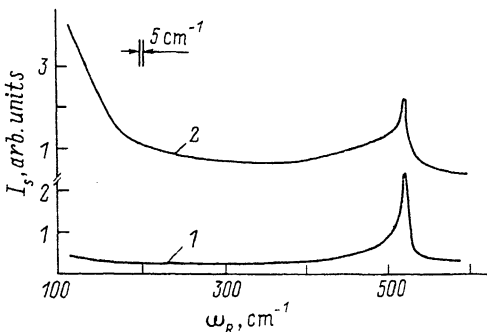


Рис. 1. Спектр КРС от слоя пористого кремния, созданного на подложке ориентации (100) кремния КДБ-1. Накачка  $\text{Ar}^+$ -лазер, линия 4880 Å.  $T = 300$  К. 1 —  $X(YZ)\bar{X}$ , 2 —  $X(YY)\bar{X} X \parallel [100], Y \parallel [010], Z \parallel [001]$ .

$\text{Вт}/\text{см}^2$  в случае импульсного возбуждения. Для регистрации сигналов в непрерывном режиме использовалась схема счета фотонов, импульсные измерения проводились с помощью стrobоскопической системы регистрации (ширина стробимпульса 4 нс) с времененным разрешением  $\sim 20$  нс.

На вставке к рис. 2 приведен спектр ФЛ при  $T = 300$  К, полученный в условиях возбуждения аргоновым лазером. Наблюдается широкая бесструктурная полоса с максимумом при 1.65 эВ и шириной 0.3 эВ, что согласуется с данными других авторов (см., например, [<sup>1, 3</sup>]).

Время-разрешенные спектры (рис. 2) кардинально отличаются от спектра, приведенного на вставке к рис. 2. Видно, что для момента регистрации, совпадающего с максимумом лазерного импульса ( $\Delta t = 10$  нс), максимум ФЛ приходится на 2.36 эВ. При сдвиге момента регистрации относительно максимума лазерного импульса на 15 нс ( $\Delta t = 25$  нс) отчетливо наблюдаются две полосы ФЛ: коротковолновая  $A1$  с максимумом при 2.5 эВ и длинноволновая  $A2$  с максимумом при 2.086 эВ. Дальнейшее увеличение задержки момента регистрации относительно лазерного импульса приводит к тому, что положение полосы  $A1$  практически не меняется, а полоса  $A2$  все время смещается в длинноволновую область спектра. Причем, как видно из рис. 2, полоса  $A2$  становится доминирующей, а при задержках  $\Delta t > 100$  нс полоса  $A1$  в спектрах практически не наблюдается. Сигнал ФЛ при импульсном возбуждении линейно зависит от интенсивности возбуждения. (Соответствующая зависимость приведена на рис. 3).

Полосы  $A1$  и  $A2$  имеют ширину  $\sim 0.4$  эВ и вследствие этого перекрываются. На рис. 4, а приведены временные развертки формы импульса фотолюминесценции на разных длинах волн. Во всех случаях форма импульса фотолюминесценции отражает комбинацию двух сигналов: быстрого, практически полностью повторяющего лазерный импульс, из полосы  $A1$  и медленного с временем спада в микросекундном диапазоне из полосы  $A2$ . В зависимости от выбранной длины волны соотношение интенсивностей быстрой и медленной компонент ФЛ, как видно из рис. 4, а, меняется.

При  $T = 4.2$  К ситуация существенно отличается от рассмотренной выше. Амплитуда медленной составляющей сигнала ФЛ становится малой. Медленная слабая компонента со временем спада  $\sim 100$  нс отчетливо проявляется при длинах волн  $\geq 6000$  Å (рис. 4, б). Во время-разрешенных спектрах наблюдается только одна бесструктурная полоса ФЛ (рис. 5), максимум которой при увеличении задержки несколько смещается в длинноволновую область спектра. Следует отметить, что составляющая сигнала ФЛ, имеющая время спада порядка нескольких микросекунд, наблюдается при температурах выше 120 К.

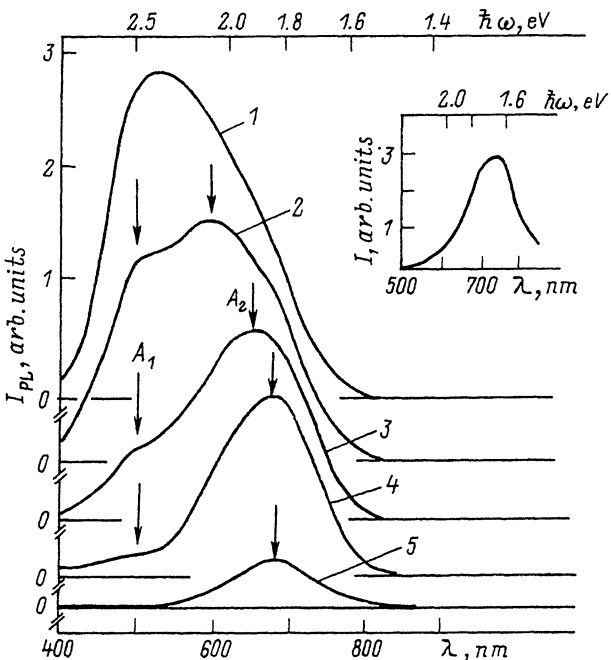


Рис. 2. Время-разрешенные спектры фотолюминесценции пористого кремния при различных задержках момента регистрации относительно начала лазерного импульса  $\Delta t$ , нс: 1 — 10, 2 — 25, 3 — 50, 4 — 75, 5 — 1000.  $T = 300$  К. На вставке — спектр фотолюминесценции при стационарном возбуждении аргоновым лазером ( $\lambda = 4880$  Å).

Спектр ФЛ, снятый при стационарном возбуждении при  $T = 4.2$  К, приведен на вставке к рис. 5. В целом данный спектр мало отличается от спектра при  $T = 300$  К (см. вставку на рис. 2).

Таким образом, время-разрешенные спектры ФЛ при  $T = 300$  К свидетельствуют о наличии двух характерных полос излучения  $A1$  и  $A2$ , отличающихся по энергии излучения и времени затухания люминесценции. Причем длинноволновая полоса с временем спада в микросекундном диапазоне определяет в основном спектр ФЛ, наблюдающийся в условиях стационарного фотовозбуждения (рис. 2).

Наблюдающуюся спектрально-временную трансформацию можно объяснить в соответствии с представлениями о пористом кремнии как системе размерно-квантованных проволок. В соответствии с этими представлениями спектр ФЛ формируется за счет излучательной рекомбинации носителей, локализованных в потенциальных ямах различной ширины. При  $T = 4.2$  К время спада ФЛ определяется, по-видимому, безызлучательной рекомбинацией. Смещение спектров ФЛ при  $T = 4.2$  К с увеличением времени задержки в красную область (рис. 5) свидетельствует о том, что механизм безызлучательной рекомбинации, обусловливающий короткую кинетику (рис. 4, б), более эффективен для узких квантовых проволок и соответственно больших энергетических зазоров, ответственных за люминесценцию в зеленой области спектра. Эта рекомбинация может быть вызвана поверхностными состояниями, которые обеспечивают более быструю кинетику ФЛ из узких ям (в коротковолновой области спектра) ввиду большего отношения площади поверхности квантовой проволоки к ее объему. Эти факторы и обусловливают смещение время-разрешенных спектров по мере увеличения времени задержки в красную область спектра (рис. 5).

Наряду с этим в спектрах ФЛ может также проявиться процесс миграции возбуждения, который может быть обусловлен, например, диффузией, более

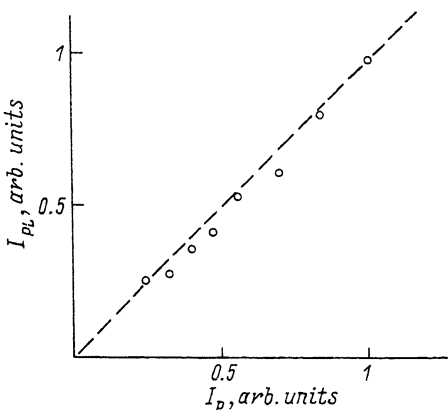


Рис. 3. Зависимость сигнала ФЛ  $I_{PL}$  на длине волны 6000 Å от интенсивности излучения накачки  $I_p$ . Импульсное фотовозбуждение.  $N_2$  — лазер,  $I_{p, \max} = 10^5$  Вт/см $^2$ ,  $T = 300$  К.

эффективной при высоких температурах. Диффузия может явиться причиной ухода носителей из области с эффективным каналом безызлучательной рекомбинации. Это в свою очередь должно привести к появлению в кинетике ФЛ медленной составляющей, которая будет более ярко выражена в красной области спектра (для потенциальных ям большей ширины). Как следствие, в спектрах ФЛ при высоких температурах, когда становится эффективен процесс миграции возбуждения (при  $T > 120$  К, как следует из экспериментальных данных), имеют место две полосы. Первая лежит в коротковолновой области спектра и обусловлена быстрой составляющей кинетики. Вторая, смещенная в длинноволновую область спектра, имеет медленную кинетику.

В такой ситуации как при  $T = 4.2$ , так и при  $T = 300$  К спектры люминесценции, полученные при стационарном возбуждении, будут в основном формироваться за счет излучения широких потенциальных ям, в которых канал

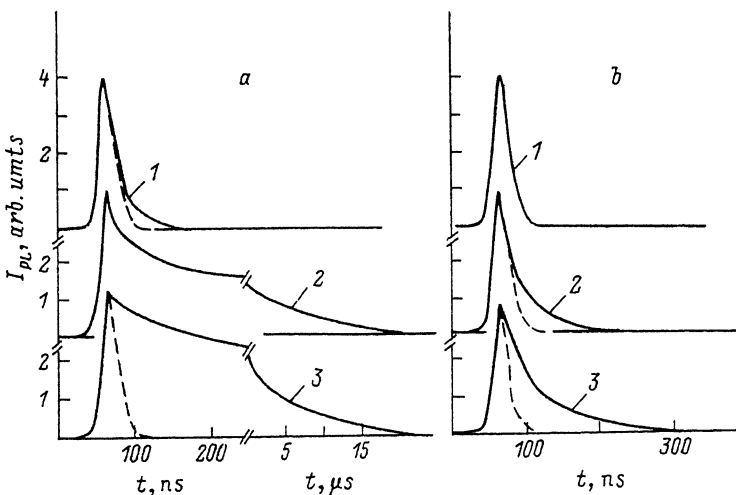


Рис. 4. Кинетика фотолюминесценции пористого кремния на различных длинах волн. а —  $T = 300$  К.  $\lambda$ , Å: 1 — 5000, 2 — 6000, 3 — 6500; б —  $T = 4.2$  К.  $\lambda$ , Å: 1 — 5000, 2 — 6000, 3 — 6500. Штриховая линия — форма возбуждающего лазерного импульса.

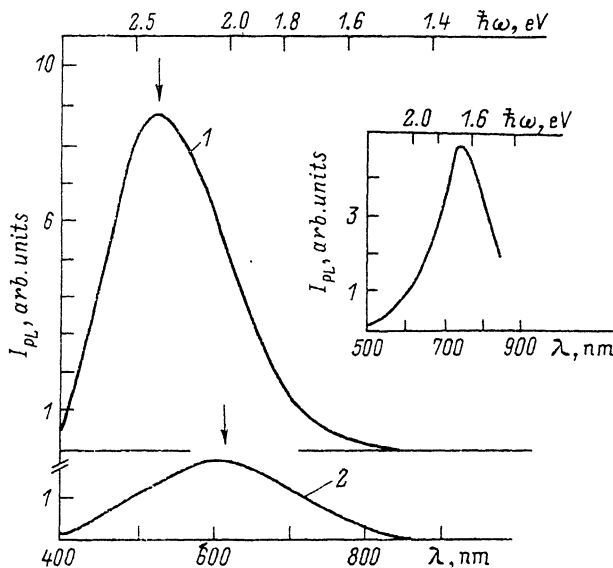


Рис. 5. Время-разрешенные спектры ФЛ пористого кремния при различных временах задержки момента регистрации относительно начала лазерного импульса  $\Delta t$ , нс: 1 — 10, 2 — 50.  $T = 4.2$  К. На вставке — спектр ФЛ пористого кремния при стационарном возбуждении аргоновым лазером ( $\lambda = 4880$  Å).

безызлучательной рекомбинации менее эффективен. Это, по-видимому, и является причиной отсутствия их существенного отличия.

Авторы выражают благодарность А. М. Минтаирову за предоставление возможности измерения спектров КРС на установке ДФС-52.

#### СПИСОК ЛИТЕРАТУРЫ

- [1] L. T. Canham. Appl. Phys. Lett., **57**, 1046 (1990).
- [2] Abstracts of AA Simposium of MRS Fall meeting, Boston (1991).
- [3] N. Koshida, H. Koyama. Japan. J. Appl. Phys., **30**, 1221 (1991).

Редактор В. В. Чалдышиев